

2023年春季学期高二年级7月质量检测

地 理

全卷满分100分,考试时间90分钟。

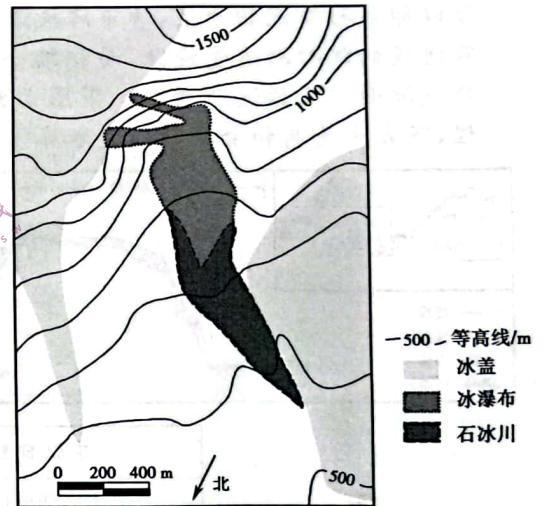
注意事项:

1. 答卷前,考生务必将自己的姓名、准考证号填写在答题卡上,并将条形码粘贴在答题卡上的指定位置。
2. 回答选择题时,选出每小题答案后,用铅笔把答题卡上对应题目的答案标号涂黑。如需改动,用橡皮擦干净后,再选涂其他答案标号。回答非选择题时,将答案写在答题卡上。写在本试卷上无效。
3. 考试结束后,将本试卷和答题卡一并收回。

一、选择题:本大题共25小题,每小题2分,共50分。在每小题给出的四个选项中,只有一个选项是符合题目要求的。

石冰川分布在现代冰瀑的下方,为古冰川分布区,由石块碎屑混杂堆积而成,内部很少有冰。末次间冰期,南极洲麦克默多干谷有多道石冰川发育。右图示意麦克默多干谷某典型石冰川周边地形地貌。读图,完成1~2题。

1. 利用等高线地形图,难以确定石冰川的
 - A. 流向
 - B. 源头
 - C. 长度
 - D. 体积
2. 麦克默多干谷的石冰川
 - A. 可能含有化石
 - B. 表面土壤发育
 - C. 石块大小相似
 - D. 石块棱角磨圆



2023年5月18日至19日,中国—中亚峰会在陕西省西安市(109°E , 34°N)举行。北京时间5月18日9时整开幕,此时中亚某国首都恰好日出,另外四国首都红日当空。下表示意中亚五国首都的经纬度。读表,完成3~4题。

国家	首都	经纬度
塔吉克斯坦	杜尚别	38.5°N , 69°E
吉尔吉斯斯坦	比什凯克	43°N , 75°E
哈萨克斯坦	阿斯塔纳	51°N , 71.5°E
乌兹别克斯坦	塔什干	41°N , 69°E
土库曼斯坦	阿什哈巴德	38°N , 58°E

3. 中国—中亚峰会开幕时,恰好日出的是
 - A. 杜尚别
 - B. 比什凯克
 - C. 阿斯塔纳
 - D. 阿什哈巴德

4. 中国—中亚峰会期间,可能出现

- A. 杜尚别日出东北
C. 阿斯塔纳昼短夜长

- B. 塔什干日落西南
D. 比什凯克正午影子朝南

2011年起,某国际机构在北非和西亚合作开发撒哈拉森林项目。该项目利用太阳能发电为海水淡化厂提供动力,用于生产蒸馏水,满足温室和附近灌丛防护林的生长,实现沙漠变良田、沙漠变森林的目的。右图示意该项目典型空间结构。读图,完成5~7题。

5. 撒哈拉森林项目发展农业生产的优势在于

- ①光照充足 ②作物生长周期长 ③病虫害少
④土壤疏松肥沃

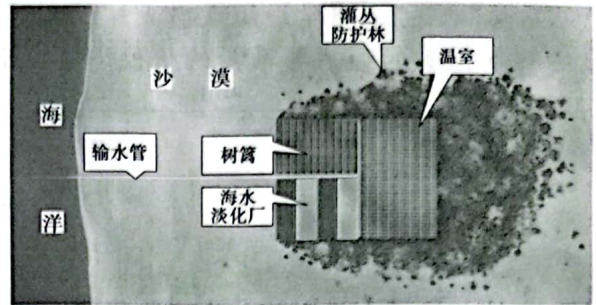
- A. ②④ B. ①③
C. ②③ D. ①④

6. 落实撒哈拉森林项目的关键因素是

- A. 农户招募 B. 资金筹集
C. 交通发展 D. 市场拓展

7. 监测该项目周边防护林每年面积的变化需要运用

- A. 人工智能技术 B. 全球卫星导航系统 C. 遥感 D. 地理信息系统



19世纪末,意大利都灵市因菲亚特钢铁薄板工厂和米其林轮胎工厂的建成而逐步发展为工业城市。20世纪中期,由于粗放式资源开采导致市场竞争力下降,都灵大量工厂关停。都灵政府于1998年开始城市更新计划,对原有工业元素二次利用,打造都灵工业遗址公园。右图为都灵工业遗址公园局部景观。读图,完成8~10题。

8. 菲亚特钢铁薄板工厂和米其林轮胎工厂的建成,首先改变了都灵的

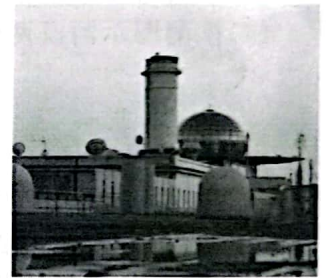
- A. 人口迁移状况 B. 城市发展水平
C. 矿产资源禀赋 D. 对外贸易途径

9. 都灵工业遗址公园的开发较少关注

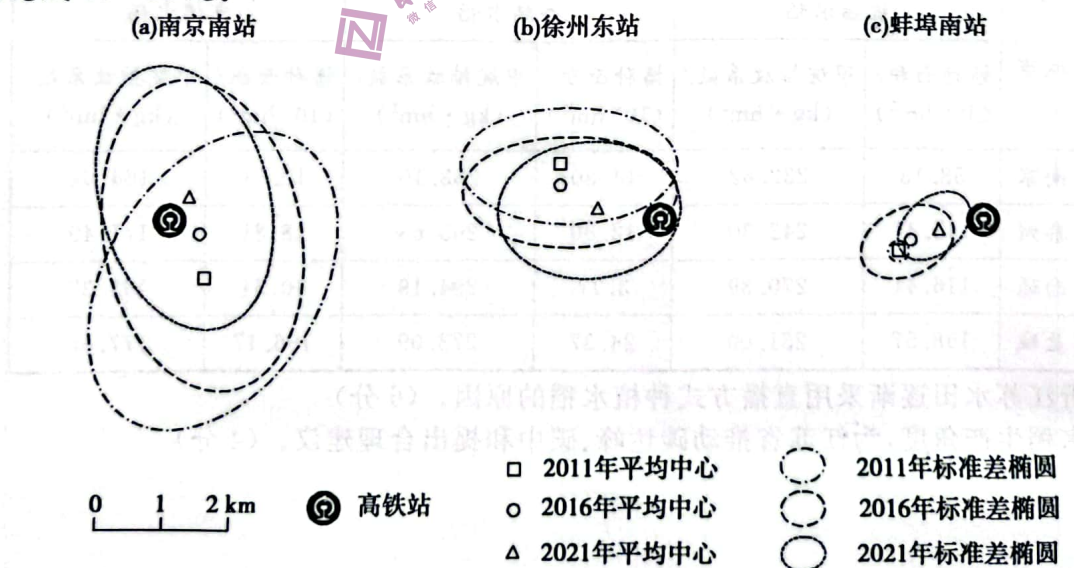
- A. 产品加工 B. 环境修复
C. 空间重塑 D. 文物保护

10. 都灵工业遗址公园对国外游客的吸引力较低,主要原因是

- A. 配套服务不足 B. 投资力度欠缺 C. 资源独特性差 D. 环境污染较重



京沪高铁是我国“八纵八横”高速铁路主通道之一,经过十多年的发展,京沪高铁沿线站区住宿业已经形成了一定的规模。下图示意京沪高铁南京南站、徐州东站、蚌埠南站周边住宿业空间分布及变化(注:标准差椭圆是描述地理事物空间分布的重要工具,反映分布方向和范围)。读图,完成11~13题。

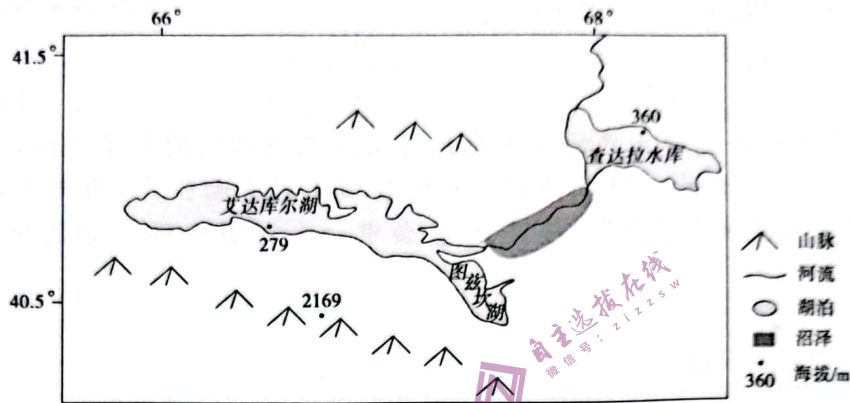


11. 影响三个站点周边住宿业标准差椭圆大小的主要因素是
 A. 旅游资源 B. 地租水平 C. 交通条件 D. 城市等级

12. 据图可知, 高铁开通时间越长, 住宿业
 A. 分布范围越大 B. 分布数量越多
 C. 越倾向向站点集聚 D. 越倾向沿轴线拓展

13. 乘坐京沪高铁傍晚抵达中转地南京南站并选择在周边住宿的旅客, 其最终目的地最可能是
 A. 南京主城区 B. 皖南地区 C. 南京近郊区 D. 上海主城区

艾达库尔湖和图兹坎湖地处中亚, 两湖水面相连, 水位同升同落。1993~2006年, 艾达库尔湖和图兹坎湖水位上升, 2006年之后该地区气候变湿, 但两湖水位基本稳定。下图示意两湖周边地形和水系。读图, 完成14~16题。

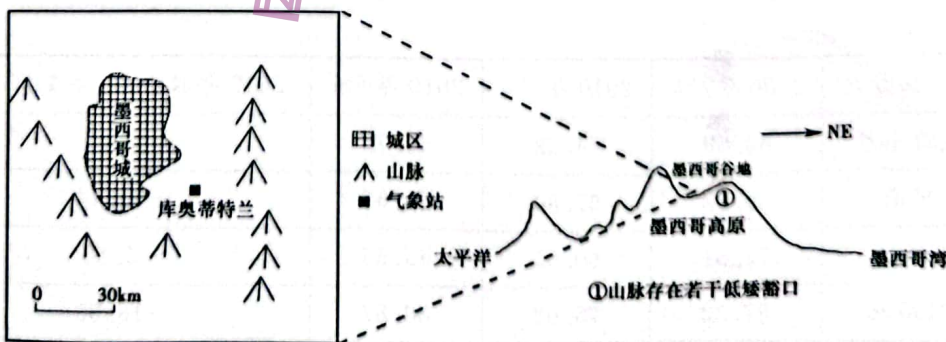


14. 艾达库尔湖和图兹坎湖的主要补给来源有
 ①大气降水 ②地下水 ③查达拉水库 ④湖岸冻土融化
 A. ①② B. ①③ C. ②④ D. ③④

15. 1993~2006年, 艾达库尔湖和图兹坎湖水位上升, 会导致
 A. 水生动物类型减少 B. 山地水土流失加剧
 C. 局部小气候改善 D. 季节盛行风向改变

16. 2006年之后, 艾达库尔湖和图兹坎湖水位基本稳定, 可能是查达拉水库
 A. 上游灌溉面积扩大 B. 下泄发电量增加
 C. 湖区发展水产养殖 D. 下渗损失量减小

较小尺度的墨西哥谷地坐落在较大尺度的墨西哥高原上, 人口稠密的墨西哥城位于谷地内。冬春季的晴天, 墨西哥城东南郊的库奥蒂特兰气象站, 上午风力微弱, 下午东南风急剧增强, 日落后减弱。下图示意库奥蒂特兰的位置。读图, 完成17~19题。



17. 只考虑放大区域的东部地形分布, 库奥蒂特兰近地面
 A. 白天盛行东南风, 夜晚盛行西北风 B. 白天盛行东北风, 夜晚盛行西南风
 C. 白天盛行西北风, 夜晚盛行东南风 D. 白天盛行西南风, 夜晚盛行东北风

18. 上午, 库奥蒂特兰近地面风力微弱的主要原因是
 A. 地面辐射增强 B. 寒冷空气堆积 C. 逆温层结稳定 D. 地形影响光照

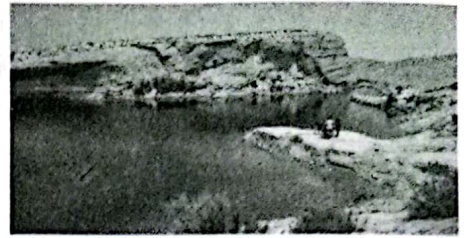
19. 下午,随着库奥蒂特兰近地面东南风风速的增大,墨西哥城

- A. 热岛效应缓解 B. 光化学污染加剧 C. 相对湿度下降 D. 对流运动增强

加夫萨绿洲位于突尼斯山前地带,大规模开采磷酸盐会影响该地区的地质构造,且导致绿洲萎缩,对农业生态系统造成威胁。2014年2月,加夫萨绿洲在一夜之间出现了面积约1公顷的碧绿湖泊。读图,完成20~21题。

20. 加夫萨绿洲磷矿资源开发对农业生产最主要的威胁是

- A. 侵占耕地空间
B. 加剧水源短缺
C. 污染农田土壤
D. 减少务农人员

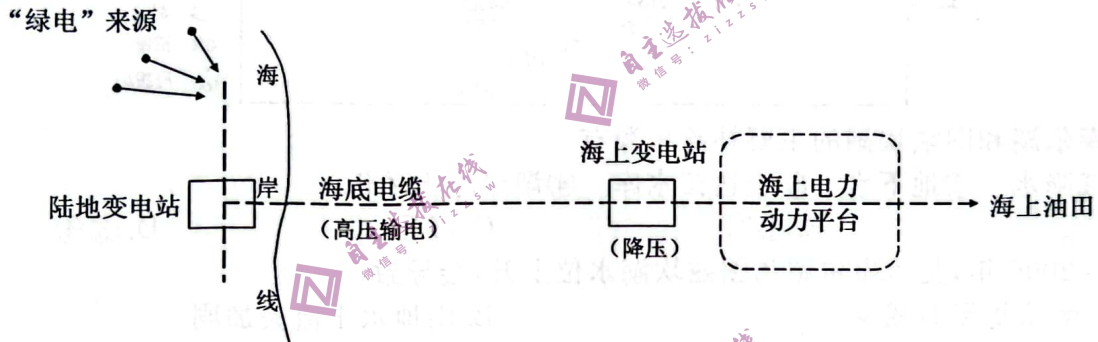


21. 加夫萨绿洲出现碧绿湖泊的原因可能有

- ①农田灌溉 ②矿坑开采 ③地壳运动 ④岩浆活动

- A. ①③ B. ①④ C. ②③ D. ②④

绿证是国家对发电企业所生产的每1兆瓦时清洁电力颁发的电子凭证,具备绿证的电能称为“绿电”。2023年2月,渤中—垦利油田群岸电应用工程全面投产,油田开采摆脱了海上发电的束缚,用上了源自陆地的“绿电”。下图示意渤中—垦利油田群岸电供应系统。读图,完成22~23题。



22. 推测渤中—垦利油田群的“绿电”主要来自

- ①太阳能 ②风能 ③潮汐能 ④水能

- A. ①② B. ①④ C. ②③ D. ③④

23. 陆地“绿电”的供应对渤中—垦利油田群生产发展的意义是

- A. 节约电能消耗 B. 保障生产稳定 C. 扩大海洋权益 D. 降低设备成本

耕地“非粮化”是指土地经营者将耕地用于非粮食种植的农业生产行为,耕地流转给合作社之后,在经济效益驱动下易出现“非粮化”。下表示意四川省各经济区耕地粮食播种面积比重。读表,完成24~25题。

经济区分类	2000年/%	2010年/%	2019年/%	2019年较2000年变化/%
成都平原	69.09	64.23	61.79	-7.30
川南	79.02	67.80	67.58	-11.44
川东北	71.51	60.65	65.65	-5.86
川西北	87.22	75.03	68.87	-18.35

24. 川西北粮食播种面积比重下降幅度最大,推测其直接原因是

- A. 自然条件恶劣 B. 人口流失严重 C. 产业升级较快 D. 种植技术落后

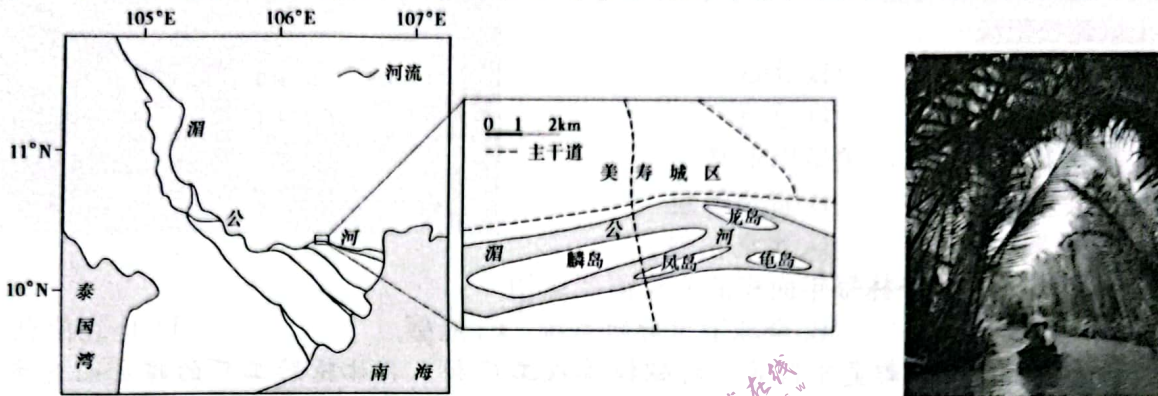
25. 为遏制成都平原经济区的耕地“非粮化”,建议

- A. 严控建设用地占用耕地 B. 推广粮食生产机械设备
C. 完善粮食出口贸易渠道 D. 限制耕地资源流转规模

二、非选择题:共 50 分。

26. 阅读图文材料,完成下列要求。(12 分)

2023 年五一劳动节期间,广州某研学小组在地理专家的带领下乘飞机前往湄公河三角洲进行野外考察。飞机降落前,研学小组从舷窗观察到湄公河三角洲水网密布,视觉震撼。到达美寿(下图)后,研学小组感到气候炎热难耐。他们查阅资料发现该地年降雨量 2 000 毫米左右,每年 5 月中下旬到 10 月为雨季,平均湿度为 75%~78%,而五一假期处于雨季前的“热季”。研学小组乘船先环绕美寿岛屿群,并对麟岛地表形态进行素描记录,随后深入麟岛中的河汊,观察两岸的植被。下图示意研学小组的考察位置及河汊植被景观。



- (1) 简述湄公河三角洲热季的成因。(2 分)
- (2) 分析湄公河三角洲水网密布的自然原因。(4 分)
- (3) 推测研学小组记录的麟岛地表形态特征。(2 分)
- (4) 推测图示河汊两侧植被的生长习性。(4 分)

27. 阅读材料,完成下列要求。(10 分)

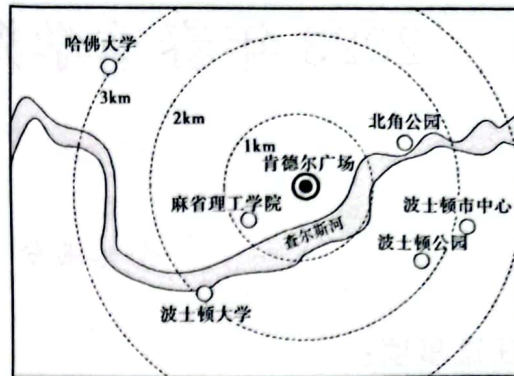
水稻种植全过程中都涉及碳排放,稻田释放甲烷是水稻种植最主要的碳排放环节。稻田土壤中的腐烂植物体等有机物,被产甲烷的细菌在厌氧的条件下分解,可向大气释放大量甲烷。水稻直播是不进行育秧、移栽而直接将种子播于大田的一种栽培方式。江苏是水稻生产大省,2020 年江苏水稻播种面积 220 万公顷左右,水稻总产量为 1 900 万吨左右,水稻播种面积和产量在全国均居前列,直播方式种植水稻在江苏省逐步普及。下表示意江苏主要地区不同水稻种植方式播种面积和甲烷排放系数。

城市	机插水稻		手插水稻		直播水稻	
	播种面积/ (10 ³ hm ²)	甲烷排放系数/ (kg · hm ²)	播种面积/ (10 ³ hm ²)	甲烷排放系数/ (kg · hm ²)	播种面积/ (10 ³ hm ²)	甲烷排放系数/ (kg · hm ²)
南京	58.13	232.62	14.80	253.10	10.51	164.64
泰州	146.41	242.30	12.80	263.63	18.81	171.49
南通	116.41	270.39	3.17	294.19	40.51	191.37
盐城	198.57	251.00	24.37	273.09	156.17	177.65

- (1) 分析江苏水田逐渐采用直播方式种植水稻的原因。(6 分)
- (2) 从水稻生产角度,为江苏省推动碳达峰、碳中和提出合理建议。(4 分)

28. 阅读图文材料,完成下列要求。(12分)

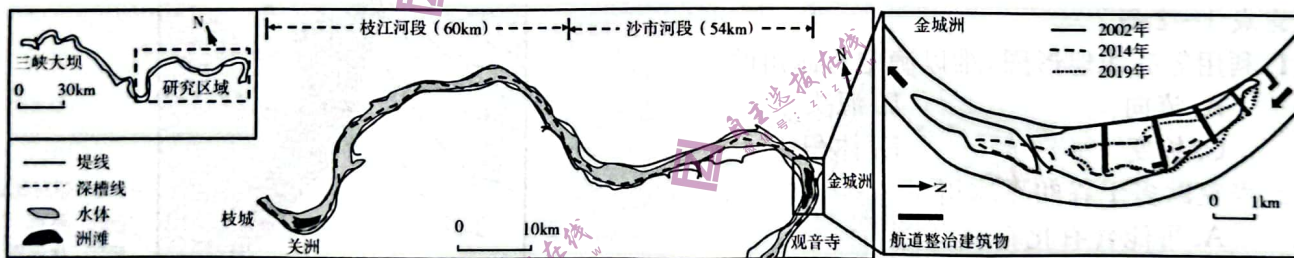
第三空间存在于住所与工作场所之外,是促进人们交流与互动的非正式聚会场所。肯德尔广场位于美国马萨诸塞州波士顿都市区,1980~2000年部分工业用地转变为商务设施用地和居住用地,2001年之后进入由商务办公区向创新区转型的阶段,逐渐形成了相对稳定的第三空间体系。目前,肯德尔广场以拥有高密度的创新企业、舒适的街区环境与蓬勃发展的生物科技和信息技术产业而闻名,成了第三空间创新发展的典范。右图示意肯德尔广场的位置。



- (1) 简述肯德尔广场发展创新产业的区位优势。(4分)
- (2) 说明 20 世纪 80 年代以来肯德尔广场建筑景观的变化。(4分)
- (3) 阐述肯德尔广场第三空间创新发展对我国新城区规划的启示。(4分)

29. 阅读图文材料,完成下列要求。(16分)

2003 年长江三峡水库运行后,枝江河段和沙市河段的冲淤情况发生明显变化。枝江河段以卵石砂质沉积为主,沙市河段以砂质沉积为主。河道堆积不利于航运,但研究表明,沙市河段的江心洲遭受侵蚀,面积缩小,也不利于航运。为确保航运,2014 年开始河道整治,金城洲面积开始逐渐增加。下图示意枝江河段和沙市河段的位置及金城洲的面积变化过程,下表为关洲和金城洲三峡水库蓄水后枯水期出露面积。



获取日期		关洲/km ²	金城洲/km ²
蓄水后	2004.04.08	4.93	5.01
	2010.02.20	4.31	2.74
	2020.02.16	3.05	2.41

- (1) 指出关洲和金城洲在水库蓄水后枯水期出露面积的变化,并分析原因。(6分)
- (2) 沙市河段江心洲面积减少不利于通航,请利用水沙运移的原理解释其机制。(6分)
- (3) 在荆江河段,金城洲发生洲头下移,洲尾上移现象。有人预测金城洲未来将继续该过程(观点一),也有人认为该过程会停止,金城洲面积会保持稳定(观点二)。你赞同哪一种观点,并说明理由。(4分)